

جغرافیا و توسعه شماره ۳۱ تابستان ۱۳۹۲

وصول مقاله : ۱۳۹۰/۱۲/۲۰

تأثید نهایی : ۱۳۹۱/۹/۱۴

صفحات : ۷۷ - ۹۲

## شناسایی الگوهای گردشی ایجادکننده سیلاب در جنوب غرب ایران مورد: حوضه‌ی مند

دکتر بهرام نجفپور<sup>۱</sup>

چکیده

هدف این پژوهش شناسایی رابطه‌ی الگوهای گردشی با سیلاب در جنوب غرب ایران می‌باشد. برای این منظور داده‌های رواناب روزانه ۱۲ ایستگاه آب‌سننجی حوضه‌ی مند به عنوان حوضه‌ی نمونه تهیه و رواناب پایه آن به روش دستی جدا شده است. حوضه‌ی مند یکی از زیرحوضه‌های حوضه‌ی آبریز خلیج فارس می‌باشد که با مساحت تقریبی ۴۷۰۰۰ کیلومتر مربع بخش‌های عمدۀ از استان فارس و بوشهر را پوشش می‌دهد.

داده‌های ایستگاه‌های منتخب دوره‌ی آماری از سال آبی ۱۳۴۱-۱۳۷۸ را شامل می‌گردد. برای تحلیل همدید رابطه‌ی الگوهای گردشی با سیلاب، روش همدید گردشی به محیطی انتخاب شده است. برای این منظور از الگوهای گردشی تراز ۵۰۰ هکتوباسکال تهیه شده توسط مسعودیان استفاده شده است.

نتایج این پژوهش نشان داد ارتباط معنی‌داری بین الگوهای گردشی تراز ۵۰۰ هکتوباسکال منطقه‌ی خاورمیانه با میانگین درصد روزانه سیلاب در حوضه‌ی مند وجود دارد. بطوری‌که در تمام ایستگاه‌های منتخب الگوی گردشی شماره ۲ (فروود دریای سیاه) با ۳۵/۷۰ درصد، الگوی گردشی شماره ۷ (فروود سوریه) با ۲۹/۱۴ و الگوی گردشی شماره ۱ (فروود شرق مدیترانه) با ۲۵/۲۴ درصد بیشترین درصد رابطه را با سیلاب‌های حوضه داشته‌اند.

نقشه روز نماینده الگوی شماره ۲ یک فراز بر روی اروپا و یک فروود ببروی دریای سیاه را نمایش می‌دهد. مهمترین پدیده همدید بر روی نقشه روز نماینده الگوی گردشی شماره ۷، فروودی است که از روسیه شروع و تا سوریه ادامه می‌یابد. الگوی گردشی شماره ۱ نیز شامل یک فروود عمیق بر روی شرق دریای مدیترانه می‌باشد.  
کلیدواژه‌ها: سیلاب، الگوهای گردشی، ارتفاع ژئوپتانسیل، تراز ۵۰۰ هکتوباسکال، جنوب غرب ایران.

**مقدمه**

هدف این پژوهش شناخت الگوهای گردشی ایجادکننده سیلاب‌های حوضه‌ی مُند می‌باشد. برای این منظور از روش گردشی به محیط استفاده شده است. این روش در گذشته برای پژوهش‌های اقلیم‌شناسی همدید بسیاری مورد استفاده قرار گرفته است. روهلی<sup>۱</sup> و دیگران (۲۰۰۱) رابطه‌ی گردش‌های همدید و جریان دبی در دریاچه‌های بزرگ آمریکا را مطالعه کردند. آنها برای این منظور از نقشه‌های ماهانه‌ی فشار سطح زمین و ارتفاع ژوپیتانسیل تراز ۷۰۰ هکتوپاسکال استفاده نمودند. نتایج پژوهش مذکور نشان داد تغییرات فشار سطح زمین بر روی ایالت‌های میسوری و ایلی نویز ارتباط قوی با تغییرات دبی دریاچه‌های بزرگ دارد.

علیجانی (۲۰۰۲) به بررسی تغییرات الگوهای گردشی تراز ۵۰۰ هکتوپاسکال ایران در دوره‌ی زمانی ۱۹۹۰-۱۹۶۰ با استفاده از روش تحلیل مؤلفه‌های مبنا پرداخت. بر اساس یافته‌های وی دو ناوه واقع شده در نزدیکی ایران به نام ناوه سوریه و ناوه خزر تأثیر بیشتری پر روی اقلیم ایران دارد. رابینسون<sup>۲</sup> (۲۰۰۳) رابطه الگوهای گردشی با سیلاب‌های ایالت کارولینای شمالی در قرن ۲۱ را به منظور ردیابی تغییرات اقلیمی مورد بررسی قرار داد. بر اساس یافته‌های پژوهش ایشان، افزایش دمای جهانی باعث افزایش سیلاب‌های ایالت مذکور شده است.

باردوسی و فیلیز<sup>۳</sup> (۲۰۰۵) در پژوهشی به شناسایی الگوهای گردشی جوی ایجادکننده سیلاب در دو حوضه‌ی جدگانه در کشورهای فرانسه و اسپانیا پرداختند. آنها به این نتیجه رسیدند که وقوع بیشتر سیلاب‌های دو حوضه‌ی مورد بررسی با الگوهای گردشی به دست آمده در ارتباط می‌باشد.

سیلاب یکی از رخدادهای طبیعی است که هم نقش مهمی در تأمین آب دریاچه سدها، تغذیه‌ی مصنوعی و تقویت سفره‌های آبهای زیرزمینی دارد و هم تأثیر قابل ملاحظه‌ای در نابودی تأسیسات و تمدن‌های بشری داشته است. به همین دلیل از گذشته‌ی دور انسان سعی در شناخت، مقابله و تفاهم با این رخداد طبیعی داشته است. بهطوری‌که امروزه با ابداع روش‌های مختلف مانند ساختن سد، تغذیه‌ی مصنوعی سیلاب و به کار بردن روش‌های گوناگون برای پیش‌بینی سیلاب و عوامل ایجادکننده‌ی آن، سعی در مهار این نیروی سرکش طبیعت دارد. پژوهشگران علت افزایش سیلاب‌های ویرانگر در دهه‌های اخیر را تغییرات اقلیمی و تغییر کاربری زمین از یک طوف و افزایش سطوح غیر قابل نفوذ از طرف دیگر می‌دانند (غیور، ۱۳۷۵: ۱۱۵). اقلیم‌شناسی همدید به عنوان شاخه‌ای از علم اقلیم‌شناسی سعی در کشف رابطه بین پدیده‌های محیطی همچون سیلاب و عوامل جو فوقانی ایجادکننده‌ی آن دارد (علیجانی، ۱۳۱۱: ۱۵). طبقه‌بندی الگوهای گردشی و تیپ‌بندی توده‌ی هوا دو روش عمده مرسوم در مطالعات همدید می‌باشد. طبقه‌بندی الگوهای گردشی به دو شیوه‌ی دستی و خودکار انجام می‌شود. شیوه‌ی خودکار با استفاده از رایانه و روش‌های آماری مانند تحلیل مؤلفه‌های مبنا و تحلیل خوش‌های صورت می‌گیرد. پژوهش‌های همدید به دو روش گردشی به محیطی و محیطی به گردشی انجام می‌شود. در روش گردشی به محیطی ابتدا با تعریف یک چهارچوب مناسب، الگوهای گردشی جو بالا بدون در نظر گرفتن رابطه‌ی آن با پدیده‌های محیطی سطح زمین طبقه‌بندی می‌شود سپس رابطه الگوهای گردشی حاصل از طبقه‌بندی با پدیده‌های سطح زمین مانند سیلاب مطالعه می‌شود (یارنال، ۱۳۷۳: ۱۳).

1-Rohli

2-Robinson

3-Bardossy and Filiz

با بارش و الگوهای گردشی ۲، ۷، ۶، ۵، ۳-۶ به ترتیب بیشترین رابطه را با سیلاب‌های به وقوع پیوسته در استان چهارمحال و بختیاری داشته‌اند. صمدی (۱۳۸۶) به تحلیل الگوی سینوپتیکی بارش‌های سیل‌زای پاییز ۱۳۸۲ سواحل جنوبی دریای خزر پرداخت. وی برای تحلیل همدید بارش‌های سیل‌زا از نقشه‌های سطح زمین و سطوح ۸۵۰، ۷۰۰ و ۵۰۰ هکتوپاسکال استفاده نمود. بر اساس یافته‌های پژوهش ایشان وجود ناوه‌ی عمیق در شمال شرق اروپا و امتداد محور آن بر روی دریای خزر موجب فرارفت هوای سرد قطبی از عرض‌های شمالی بر روی دریای خزر در نتیجه ایجاد سیلاب گردیده است. حوضه‌ی مُند یکی از زیر حوضه‌های حوضه‌ی گردشی خلیج فارس می‌باشد که با مساحت تقریبی ۴۷۰۰۰ کیلومتر مربع در جنوب غرب کشور واقع شده است و بخش‌های عمده‌ای از استان‌های فارس و بوشهر را پوشش می‌دهد (نجف‌پور، ۱۳۸۱: ۱۷). بر روی شبکه‌ی زهکشی این حوضه در حال حاضر دو سد تنگاب فیروزآباد و سلمان فارسی قیروکارزین مورد بهره‌برداری قرار گرفته است. همچنین سدهای میرزای شیرازی کوار و هایقر فیروزآباد نیز در دست ساخت می‌باشند. بنابراین با توجه به برنامه‌ریزی مدیریت منابع آب و سیلاب به وقوع پیوسته در این حوضه، شناخت الگوهای گردشی ایجادکننده سیلاب‌های آن ضروری به نظر می‌رسد. شکل (۱) موقعیت حوضه‌ی مُند در نقشه‌ی کشور را نشان می‌دهد.

### مواد و روش

برای بررسی رابطه‌ی الگوهای گردشی با سیلاب، ابتدا داده‌های رواناب روزانه ۲۵ ایستگاه آب‌سنگی حوضه‌ی مورد بررسی قرار گرفت. سپس ۱۲ ایستگاه که با توجه به موقعیت جغرافیایی، توزیع ارتفاعی و سابقه‌ی آماری نماینده کل حوضه محسوب می‌شدند، انتخاب شده است.

پتروف و همکاران (۲۰۰۷) با بررسی الگوهای گردشی ایجادکننده سیلاب‌های فصلی یک حوضه آبریز کوهستانی در جنوب شرقی آلمان به این نتیجه رسیدند که کم‌فارهای ایجاد شده بر روی خلیج جنوای<sup>۱</sup> ایتالیا نقش مهمی در ایجاد سیلاب‌های زمستانه‌ی حوضه‌ی مورد مطالعه دارد. شولتر و شادرل<sup>۲</sup> (۲۰۱۰) در پژوهشی به پیش‌بینی حساسیت‌پذیری بارش‌های سنگین حوضه‌ی رودخانه‌ی ایسی<sup>۳</sup> به تغییرات کوچک الگوهای گردشی بزرگ مقیاس در دو مدل جداگانه پرداختند. نتایج نشان داد که رطوبت نسبی و دما دو عامل مهم افزایش باران سامانه‌های همدید بزرگ مقیاس می‌باشد. سیزی‌پرور و دیگران (۲۰۱۰) به تحلیل همدید سامانه‌های لایه‌ی میانی جو ایجادکننده سیلاب در جنوب غرب ایران پرداختند. نتایج پژوهش آنها نشان داد سیلاب‌های شدید حوضه‌ی رودخانه‌ی دالکی به عنوان حوضه‌ی نمونه‌ی مورد مطالعه، ناشی از تقویت کم‌فاره حرارتی سودانی و تأمین رطوبت اقیانوس‌هند و دریای مدیترانه می‌باشد. مرادی (۱۳۸۳) به پیش‌بینی سیلاب بر اساس موقعیت‌های سامانه‌های همدیدی در شمال شرق کشور پرداخت. بر اساس یافته‌های پژوهش ایشان شدیدترین بارش منطقه در شرایطی به وقوع می‌پیوندد که مرکز کم فشاری بر روی منطقه استقرار یابد و منطقه تحت تأثیر فعالیت جبهه سرد واقع شود.

مسعودیان (۱۳۸۴) در پژوهشی تحت عنوان پیش‌بینی سیلاب در استان چهارمحال و بختیاری، الگوهای گردشی ارتفاع ژئوپتانسیل تراز ۵۰۰ هکتوپاسکال جو ایران را به ۱۷ الگو طبقه‌بندی کرد و سپس رابطه الگوهای هفده‌گانه را با بارش و سیلاب‌های رخداده در آن استان بررسی نمود. نتایج پژوهش ایشان نشان داد، الگوهای گردشی شماره ۲، ۱ و ۳ بیشترین ارتباط را

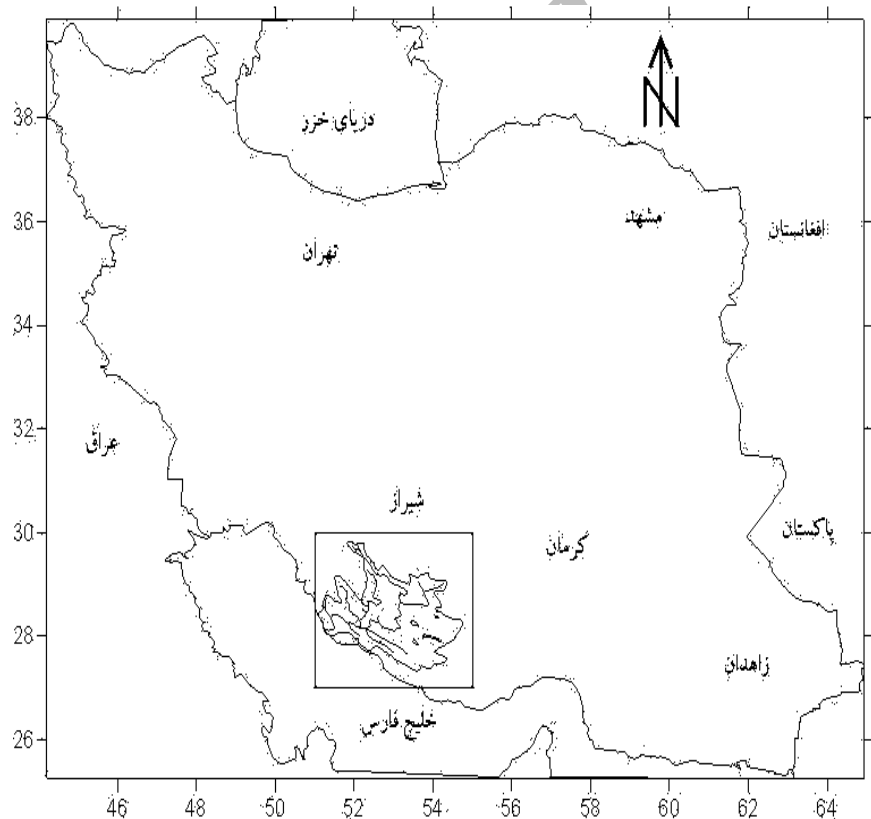
1-Genoa

2-Schluter and Schadler

3-Eibe

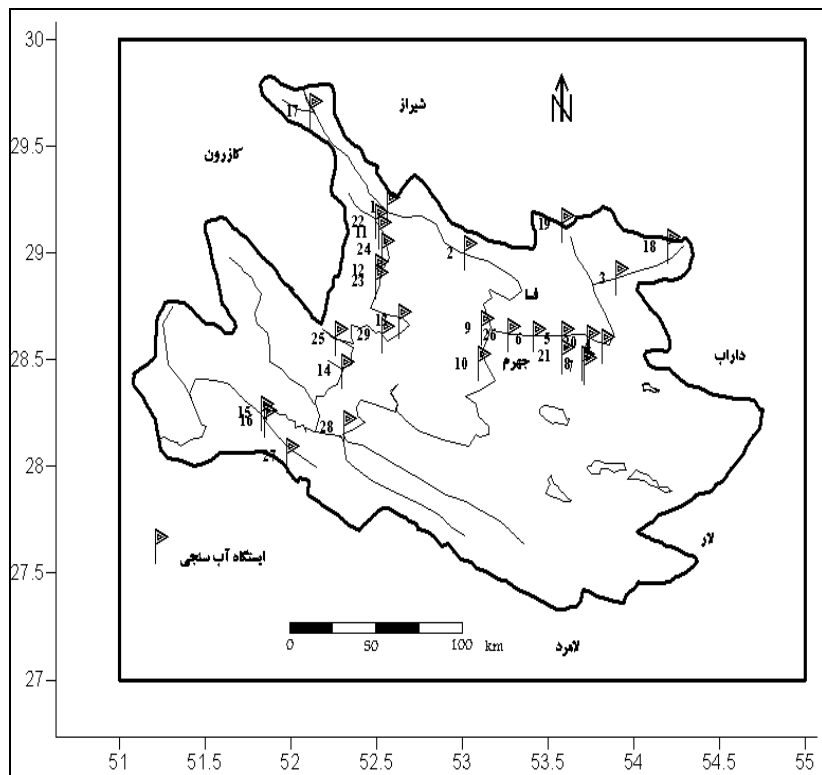
مختلف، سیلاب روزانه هر ایستگاه به درصد تبدیل شده است. برای بررسی رابطه‌ی الگوهای گردشی با سیلاب با انتخاب روش گردشی به محیطی که از روش‌های مرسوم در اقلیم‌شناسی همدید می‌باشد، از الگوهای گردشی تراز ۵۰۰ هکتوباسکال مسعودیان استفاده شده است (مسعودیان، ۱۳۱۴//الف). علت انتخاب تراز ۵۰۰ هکتوباسکال قرار داشتن این تراز به عنوان لایه‌ی میانی جو و تأثیرپذیری پدیده‌های محیطی چون سیلاب از تغییرات الگوهای گردشی این تراز می‌باشد (علیجانی، ۱۳۱۱ ب: ۹).

شکل (۲) موقعیت ایستگاه‌های آب‌سنجدی حوضه‌ی مُند و جدول (۱) ویژگی‌های ایستگاه‌های منتخب را نشان می‌دهد. دوره‌ی آماری داده‌ها ایستگاه‌های منتخب از سال آبی ۱۳۴۱-۱۳۷۹ تا ۱۳۷۸-۱۳۴۰ را شامل می‌گردند. بیشترین ساقه‌ی آماری مربوط به ایستگاه علی‌آباد با ۳۶ سال و کمترین آن مربوط به ایستگاه خانه زنیان با ۹ سال سابقه‌ی آماری می‌باشد. سپس با بررسی داده‌های رواناب روزانه هر ایستگاه، رواناب پایه سیلاب‌های به وقوع پیوسته از جریان عادی رودخانه به روش دستی جدا گردیده است. سرانجام به منظور فراهم نمودن امکان مقایسه‌ی ایستگاه‌های



شکل ۱: موقعیت جغرافیایی حوضه‌ی مُند در نقشه‌ی کشور

مأخذ: نگارنده، ۱۳۱۹



شکل ۲: موقعیت جغرافیایی ایستگاه‌های آب‌سنجدی خوبه‌ی مند

مأخذ: نگارنده، ۱۳۹۰

جدول ۱: مختصات جغرافیایی و مشخصات ایستگاه‌های آب‌سنجدی منتخب

ردیف	نام ایستگاه	نام روستانه	طول جغرافیایی	عرض جغرافیایی	ارتفاع (متر)	مساحت (km <sup>2</sup> )	سال شروع	سال خاتمه دوره آماری
۱	قره‌آغاج	قره‌آغاج	۵۲-۳۶	۲۹-۱۳	۱۷۰۰	۲۴۱۰	۴۸-۴۹	۷۸-۷۹
۲	علی‌آباد	قره‌آغاج	۵۳-۰۳	۲۹-۰۰	۱۳۴۰	۳۵۷۰	۴۰-۴۱	۷۸-۷۹
۳	قطب‌آباد	شور جهرم	۵۳-۳۷	۲۸-۳۶	۱۰۵۰	۴۴۶۰	۵۳-۵۴	۶۴-۶۵
۴	سرورو	مسیل چاتیز	۵۳-۴۵	۲۸-۲۸	۱۳۵۰	۶۹	۵۳-۵۴	۶۳-۶۴
۵	باراک	سیمکان	۵۳-۰۹	۲۸-۳۹	۸۷۰	۷۶۴	۵۳-۵۴	۷۸-۷۹
۶	مند	مند	۵۳-۰۸	۲۸-۲۹	۷۱۵	۱۳۰۷۵	۴۹-۵۰	۷۸-۷۹
۷	تنگاب	فیروزآباد	۵۲-۳۲	۲۸-۵۵	۱۳۱۰	۱۴۱۰	۴۸-۴۹	۷۸-۷۹
۸	احمدآباد	فیروزآباد	۵۲-۲۰	۲۸-۲۷	۳۸۰	۴۳۰۰	۶۱-۶۲	۷۸-۷۹
۹	قطره	مند	۵۱-۵۲	۲۸-۱۵	۸۰	۳۶۵۰۰	۴۸-۴۹	۷۸-۷۹
۱۰	خطیری	خانه زینیان	۵۲-۰۹	۲۹-۴۰	۱۹۵۰	۲۲۶	۵۴-۵۵	۷۲-۷۳
۱۱	باباعرب	شور جهرم	۵۳-۴۶	۲۸-۳۵	۱۰۸۰	۳۶۱۱	۵۱-۵۲	۷۸-۷۹
۱۲	دزگاه	مند	۵۲-۲۱	۲۸-۱۱	۲۰۰	۱۸۵۲۵	۶۳-۶۴	۷۸-۷۹

مأخذ: سازمان آب منطقه‌ای استان فارس (۱۳۸۵)

## بحث و نتایج

### - جدا کردن رواناب پایه

بازوی پایین رونده) به عنوان خاتمه‌ی سیلاب در نظر گرفته شده است. در این روش با فرض اینکه مقدار رواناب پایه در مدت تداوم هر سیلاب به صورت ثابت ادامه داشته است، مقدار رواناب روز شروع هر سیلاب را به عنوان رواناب پایه از رواناب بقیه‌ی روزها کم گردید. تا رواناب مستقیم به دست آمد. به عبارتی مقدار رواناب پایه در مدت تداوم هر تک‌سیلاب مقداری ثابت اما برای هر سیلاب با توجه به تغییر مقدار آب ورودی آن، مقداری متغیر فرض شده است (نجف‌پور، ۱۳۹۵: ۳۴).

### - الگوهای گردشی مسعودیان

در این پژوهش برای شناسایی الگوهای گردشی جو بالا به منظور پرهیز از دوباره‌کاری و استفاده از نتایج تحقیقات دیگران، الگوهای گردشی تراز ۵۰۰ هکتوپاسکال مسعودیان مورد استفاده قرار گرفته است. این کار در مطالعات اقلیم‌شناسی همدید امری متدائل و مرسوم می‌باشد. به عنوان مثال سودون و باکر<sup>۱</sup> (۱۹۸۱) رابطه‌ی تیپ‌های همدید لامب با تغییرپذیری دمای مرکز انگلستان را بررسی کردند. پالوتیکف<sup>۲</sup> و دیگران (۱۹۸۷) تحقیقی راجع به توان انرژی بادی بریتانیا انجام دادند و در آن رابطه‌ی تیپ‌های همدید لامب با سرعت باد را بررسی کردند. داویس<sup>۳</sup> و دیگران (۱۹۸۶) رابطه‌ی الگوهای همدید لامب با بارش‌های اسیدی اسکال‌المور<sup>۴</sup> در جنوب غرب اسکاتلند را مورد مطالعه قرار دادند (پارنال، ۱۳۷۳: ۳۶).

در طبقه‌بندی مسعودیان وی ابتدا داده‌های روزانه ارتفاع ژئوپتانسیل تراز ۵۰۰ هکتوپاسکال ساعت GMT محدوده ۱۰۰ درجه شمالي و صفر تا ۷۰ درجه شرقی با تفکیک مکانی  $2/5 \times 2/5$  درجه به مدت سی سال از سال ۱۹۷۴ تا ۲۰۰۳ میلادی را از پایگاه داده NCEP/NCAR استخراج کرده است. این داده‌ها

منظور از سیلاب رواناب مستقیم می‌باشد. برحسب این تعریف سیلاب دبی است که رواناب پایه‌ی آن جدا شده است. بیشتر کتاب‌های هیدرولوژی در بحث جدا کردن رواناب پایه تک‌سیلاب‌ها، روش‌های مختلفی پیشنهاد داده‌اند، اما در بحث سری‌های زمانی سیلاب سکوت کرده‌اند. هیدرولوژیست‌ها روش‌های مختلفی را برای جدا کردن رواناب پایه تک‌سیلاب‌ها پیشنهاد می‌دهند. انتخاب نوع روش بستگی به موقعیت جغرافیایی و زمین‌شناسی حوضه، دقت محاسبات و اهداف محقق دارد. با این وجود در اکثر کارهای هیدرولوژی رواناب پایه مقداری ثابت در نظر گرفته می‌شود. به این صورت که نقطه‌ی شروع و خاتمه‌ی آبنمود سیلاب را به وسیله‌ی خطی مستقیم به هم وصل می‌نمایند. آنگاه مقدار رواناب بالای این خط را به عنوان رواناب مستقیم و مقدار رواناب پایین آن را به عنوان رواناب پایه در نظر می‌گیرند (علیزاده، ۱۳۷۷: ۳۱۶). در اینجا به منظور جدا کردن رواناب پایه سری زمانی سیلاب‌های ایستگاه‌های منتخب روش‌های مختلفی آزمایش شد. با توجه به اینکه اولاً مقدار رواناب پایه در هر سیلاب متغیر می‌باشد و ثانیاً مقدار آن در مدت تداوم هر سیلاب نیز با رابطه‌ی خطی افزایش می‌باشد (Ward & Robinson, 2000: 254) و ثالثاً با توجه به تعداد زیاد داده‌ها مورد بررسی، اکثر روش‌های مورد استفاده خطاً محسوس و غیر قابل قبولی به همراه داشتنند. در این پژوهش رواناب پایه سری‌های زمانی سیلاب ایستگاه‌های منتخب به روش دستی جدا شده است. برای این منظور اولین روزی که آبنمود رواناب ایستگاه شروع به افزایش می‌نماید به عنوان شروع سیلاب و روزی که آبنمود رواناب رودخانه با شب ملایم به حالت عادی بر می‌گردد (نقطه‌ی عطف

1-Sowdon & Parker

2-Palutikof

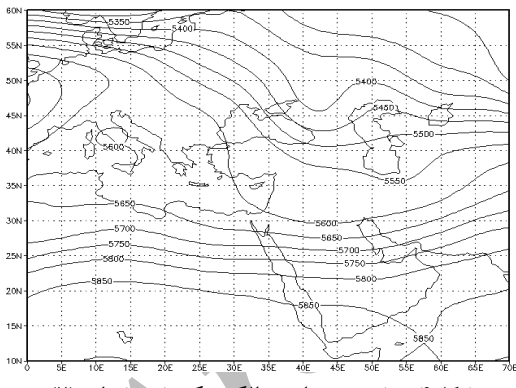
3-Davies

4-Eskdalemuir

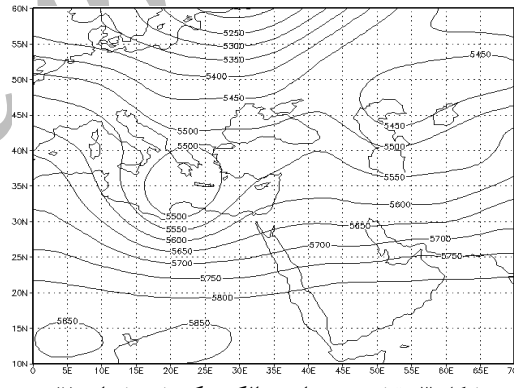
از کمترین همبستگی درون‌گروهی برخوردار بوده است، وی با اجرای تحلیل خوشهای انباشتی پایگانی به شیوه وارد برای این الگو، آنرا به ده زیر گروه فرعی تقسیم کرده است. بنابراین مجموعاً ۱۷ الگوی گردشی حاصل شده است.

در شکل‌های (۲) تا (۱۰) نقشه‌ی ارتفاع ژئوپتانسیل تراز ۵۰۰ hpa روز نماینده ۸ الگوی اصلی نشان داده شده است. منظور از روز نماینده روزی است که دارای بیشترین همبستگی درون‌گروهی با اعضای هم‌گروه خود می‌باشد (مسعودیان، ۱۳۹۵: ۴۲). شکل‌های (۱۱) تا (۲۰) نقشه‌ی ارتفاع ژئوپتانسیل تراز ۵۰۰ hpa روز نماینده ده الگوی گردشی فرعی را نشان می‌دهد.

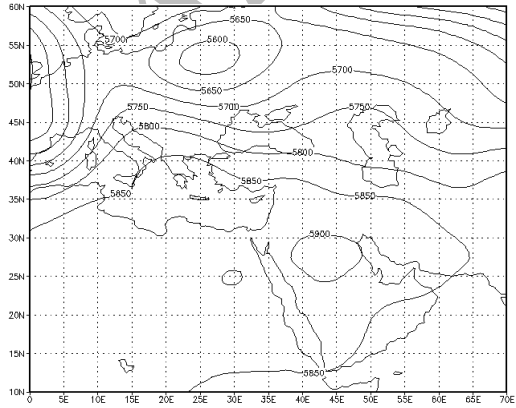
ماتریسی به ابعاد  $10957 \times 609$  شامل ۶۰۹ یاخته مکانی و ۱۰۹۵۷ یاخته‌ی زمانی را تشکیل می‌دهند. سپس با اجرای تحلیل مؤلفه‌های اصلی (PCA) بر روی ماتریس همپراش داده‌های استاندارد شده ارتفاع ۱۲ ژئوپتانسیل تراز ۵۰۰ هکتوپاسکال ساعت GMT یا زده مؤلفه اصلی را شناسایی کرده است. این ۱۱ مؤلفه ۹۲ درصد پراش داده‌ها را تبیین می‌کنند. سر انجام با اجرای تحلیل خوشهای انباشتی پایگانی به شیوه ادغام وارد بر روی ماتریس نمرات ۱۱ مؤلفه اصلی برای ۱۰۹۵۷ روز مورد بررسی ۸ الگوی گردشی اصلی تراز ۵۰۰ هکتوپاسکال را شناسایی کرده است. با توجه به اینکه الگوی گردشی شماره سه در این طبقه‌بندی بیشترین پراش درون‌گروهی را با سایر گروه‌ها داشته و



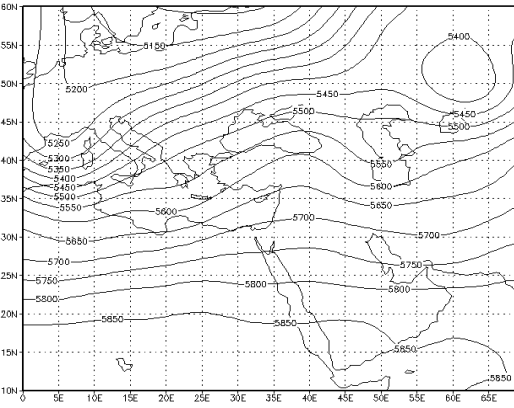
شکل ۲: نقشه روز نماینده الگوی گردشی شماره (۲)



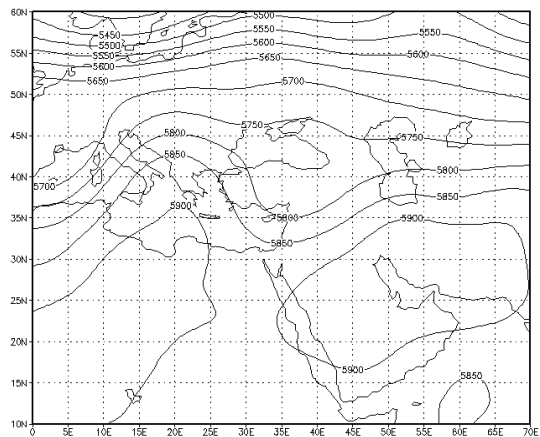
شکل ۳: نقشه روز نماینده الگوی گردشی شماره (۱)



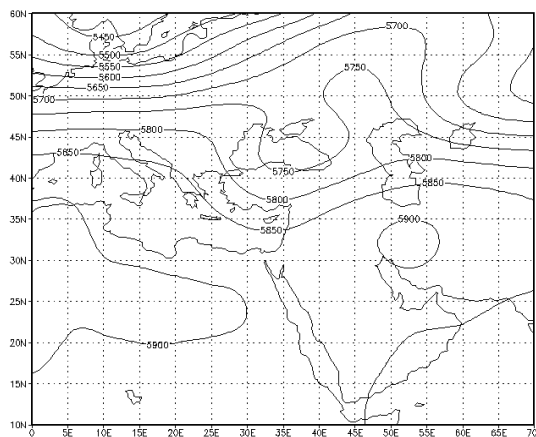
شکل ۴: نقشه روز نماینده الگوی گردشی شماره (۴)



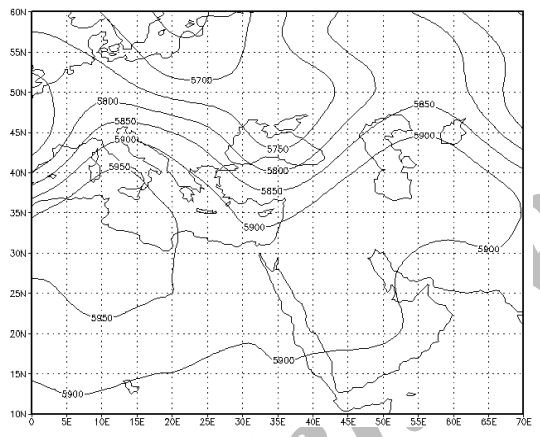
شکل ۵: نقشه روز نماینده الگوی گردشی شماره (۳)



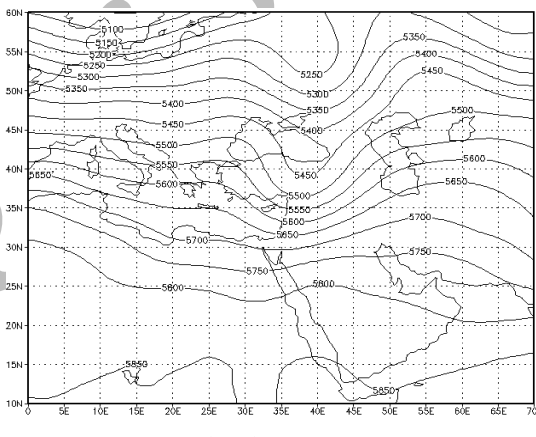
شکل ۸: نقشه روز نماینده الگوی گردشی شماره (۶)



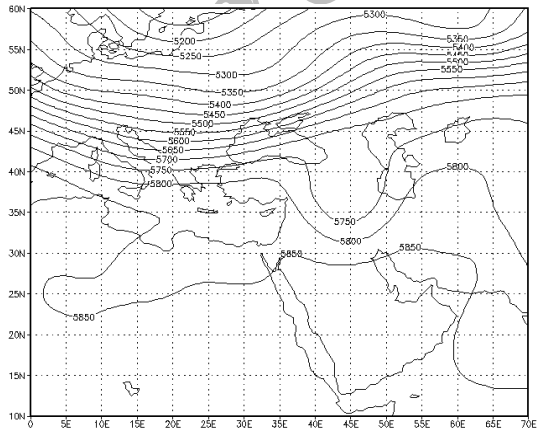
شکل ۷: نقشه روز نماینده الگوی گردشی شماره (۵)



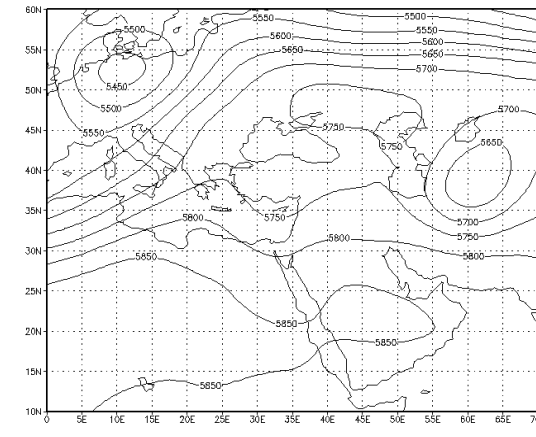
شکل ۱۰: نقشه روز نماینده الگوی گردشی شماره (۸)



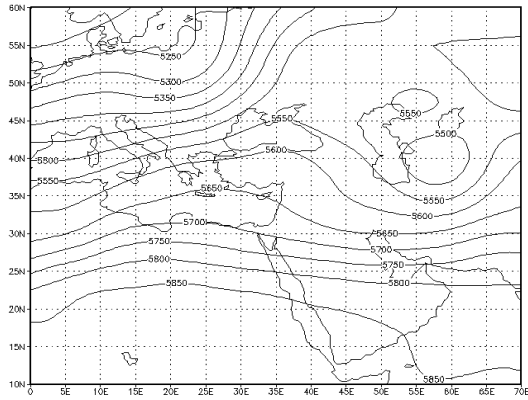
شکل ۹: نقشه روز نماینده الگوی گردشی شماره (۷)



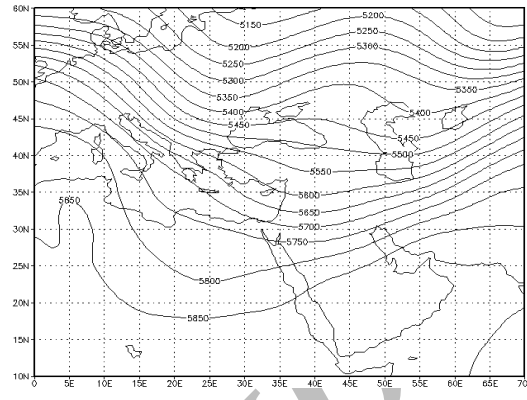
شکل ۱۲: نقشه روز نماینده الگوی گردشی شماره (۲-۳)



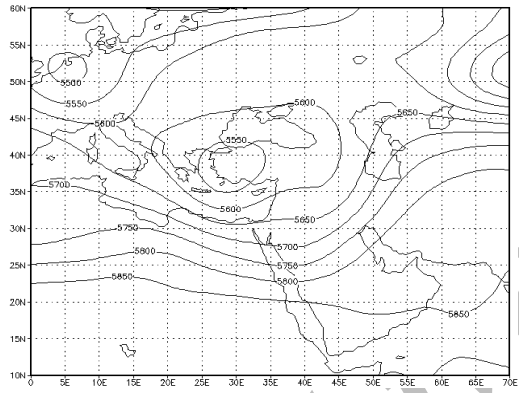
شکل ۱۱: نقشه روز نماینده الگوی گردشی شماره (۱-۳)



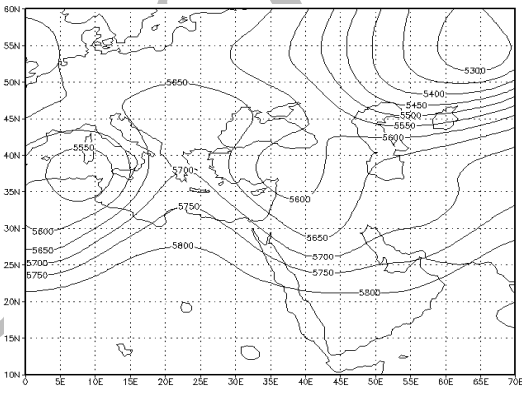
شکل ۱۴: نقشه روز نماینده الگوی گردشی شماره (۳-۴)



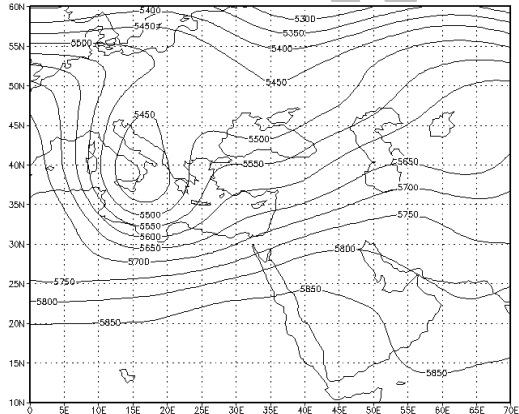
شکل ۱۳: نقشه روز نماینده الگوی گردشی شماره (۳-۳)



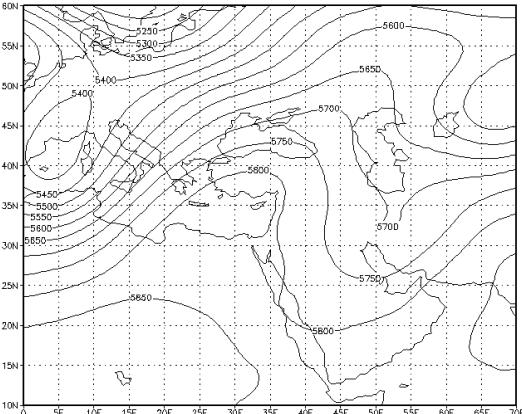
شکل ۱۶: نقشه روز نماینده الگوی گردشی شماره (۳-۶)



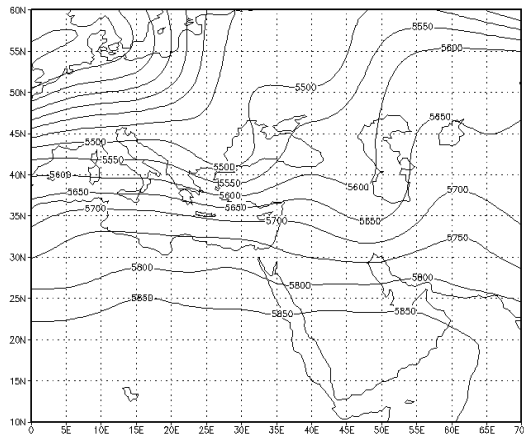
شکل ۱۵: نقشه روز نماینده الگوی گردشی شماره (۳-۵)



شکل ۱۸: نقشه روز نماینده الگوی گردشی شماره (۳-۸)

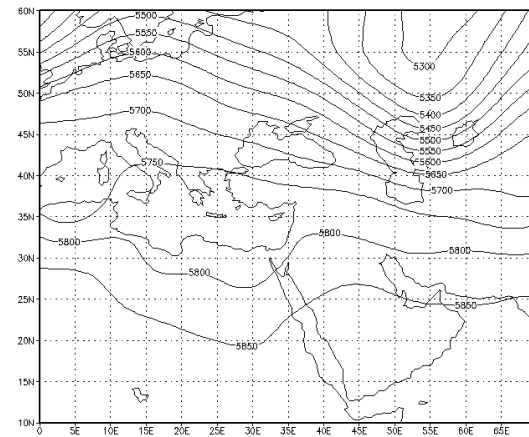


شکل ۱۷: نقشه روز نماینده الگوی گردشی شماره (۳-۷)



شکل ۲۰: نقشه روز نماینده الگوی گردشی شماره (۱۰-۳)

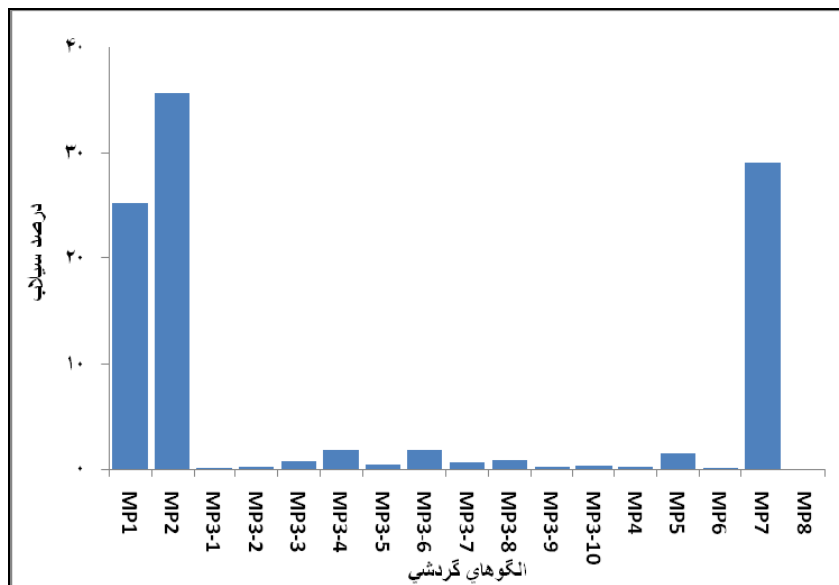
ماخذ: مسعودیان، ۱۳۱۵



شکل ۱۹: نقشه روز نماینده الگوی گردشی شماره (۹-۳)

کم فشار سودانی در ارتباط می‌باشد (شکری، ۱۳۸۲؛ مسعودیان، ۱۳۸۴؛ باب، ۱۷۳؛ کاویانی و حجتی‌زاده، ۱۳۸۰؛ نصیری و قائمی، ۱۳۷۱؛ ۱۱۴؛ مفیدی، ۱۳۸۳؛ Barth & Steinkohl, 2004: 101) نقشه‌ی روز نماینده الگوی گردشی شماره (۷) حاکی از تشکیل فرویدی بر روی دریای سیاه و شرق دریای مدیترانه می‌باشد. عمق افزاید و فشردگی خطوط هم ارتفاع این ناوه از یک طرف و تأمین رطوبت از سه منبع دریای مدیترانه، دریای سرخ و خلیج فارس از طرف دیگر سبب ارتباط قوی این الگو با سیلانهای حوضه‌ی مُند شده است. نقشه‌ی روز نماینده الگوی گردشی شماره (۱) نشان‌دهنده‌ی حاکمیت کم ارتفاعی است که بر روی دریای مدیترانه قرار گرفته است. این کم ارتفاع سبب ایجاد فرازی بر روی ترکیه و شبه‌جزیره عربستان و فرویدی بر روی ایران شده است (شکل ۳). اما ناوه این الگو نسبت به ناوه الگوهای گردشی شماره ۲ و ۷، از گسترش‌مداری ضعیفتر و عمق کمتری برخوردار است (شکلهای ۴ و ۹).

**رابطه‌ی الگوهای گردشی با سیلانه روزانه**  
میانگین درصد روزانه‌ی سیلانه شاخصی است که سهم سیلانه در زمان حاکمیت هر الگوی گردشی را نشان می‌دهد. شکل (۲۱) رابطه‌ی الگوهای گردشی با میانگین درصد سیلانه روزانه در کل حوضه‌ی مُند را نشان می‌دهد. همان طوری که مشاهده می‌شود الگوی گردشی شماره ۲ با ۳۵/۷۰ درصد، الگوی گردشی شماره ۷ با ۲۹/۱۴ و الگوی گردشی شماره ۱ با ۲۵/۲۴ درصد بیشترین رابطه را با سیلانهای حوضه داشته‌اند. به عبارتی دیگر این سه الگوی گردشی مجموعاً ۹۰/۰۸ درصد سیلانه روزانه حوضه‌ی مُند را تبيين می‌کنند. نقشه روز نماینده الگوی گردشی شماره (۲) بيانگر قرار گرفتن دامنه‌ی شرقی ناوه‌ای بر روی جنوب غرب کشور است. محور این ناوه بر روی شبه‌جزیره عربستان واقع شده است. گسترش‌مداری و عبور این ناوه از دریای سرخ و خلیج فارس، سبب کسب رطوبت زیادی شده است (شکل ۴). تحقیقات سایر پژوهشگران نشان می‌دهد، این ناوه با سامانه‌ی

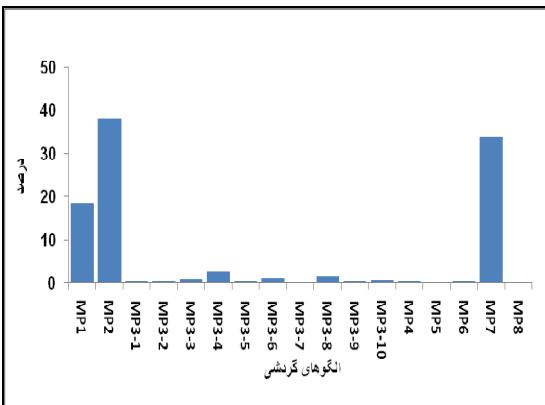


شکل ۲۱: رابطه الگوهای گردشی با میانگین درصد سیلاب روزانه حوضه مُند

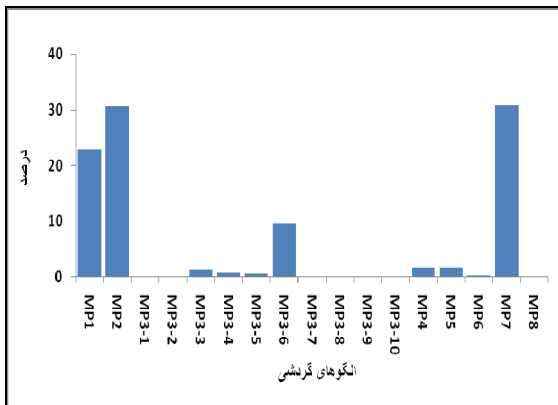
مأخذ: نگارنده، ۱۳۸۹

واقع در غرب، جنوب و جنوب شرق حوضه در امتداد آبراهه‌ی اصلی را تحت تأثیر قرار داده است. در حالی که در زمان حاکمیت الگوی گردشی شماره‌ی ۱ فرودی که بر روی دریای خزر شکل گرفته است به علت انزدیکی بیشتر به مناطق شرق و شمال شرق حوضه، ایستگاههای این مناطق نسبت به ایستگاههای واقع در مناطق غرب و جنوب حوضه از بارش بیشتر در نتیجه از سیلاب بالاتری برخوردارند. دوم آن که در تمام ایستگاههای منتخب همانند کل حوضه بیشترین درصد سیلاب در زمان حاکمیت الگوهای گردشی شماره‌ی ۲، ۷ و ۱۰ رخ داده است. سرانجام اینکه هر چند بعضی از الگوهای گردشی منتخب همچو عدهای الگوی گردشی شماره‌ی ۳ درصد کمی از سیلابهای حوضه را به خود اختصاص داده‌اند، اما این به معنی کم‌اهمیت بودن و شدت پایین سیلابهای این الگوها نمی‌باشد، بلکه فراوانی وقوع کمتر این سیلاب‌ها را بیان می‌کند.

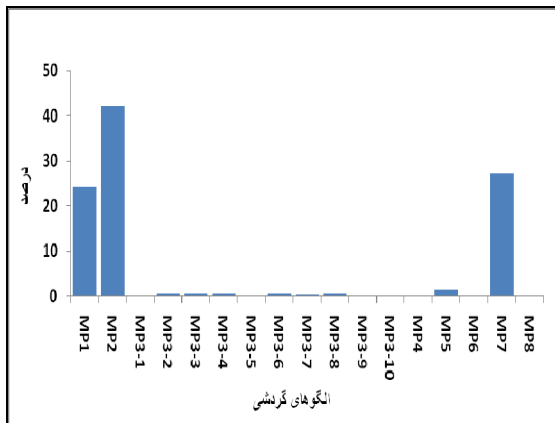
شکل‌های ۶ تا ۳۳ رابطه‌ی الگوهای گردشی با میانگین درصد روزانه سیلاب ایستگاههای منتخب حوضه مُند را نشان می‌دهد. بررسی رابطه‌ی الگوهای گردشی با میانگین درصد سیلاب در این ایستگاه‌ها بیانگر چند نکته می‌باشد. اول اینکه در ایستگاه‌های مانند خانه زنیان، بند بهمن، علی‌آباد، باراک، تنگ کارزین و قنطره که در مسیر آبراهه‌ی اصلی حوضه از غرب و شمال غرب به شرق و جنوب شرق امتداد دارند الگوی گردشی شماره‌ی ۲ نسبت به الگوی گردشی شماره‌ی ۱ فعال‌تر است. در حالی که در ایستگاه‌هایی مانند قطب‌آباد و سروو که در شرق و شمال شرق در مناطق نیمه‌خشک حوضه واقع شده‌اند، الگوی گردشی شماره‌ی ۱ فعال‌تر است. مقایسه‌ی نقشه‌های روز نماینده الگوی گردشی شماره‌ی ۱ و الگوی گردشی شماره‌ی ۲ (شکل‌های ۳ و ۴) نشان می‌دهد در زمان حاکمیت الگوی گردشی شماره‌ی ۲ به دلیل کشیده شدن فرود بادهای غربی به عرض‌های پایین‌تر و عبور همزمان از روی دریاهای سرخ و خلیج‌فارس، بیشتر ایستگاههای



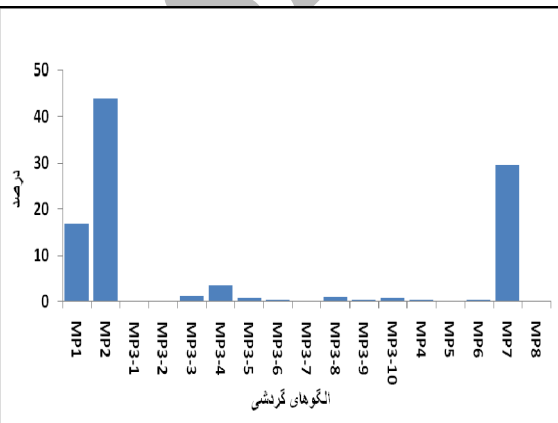
شکل ۲۳: ایستگاه بند بهمن کوار



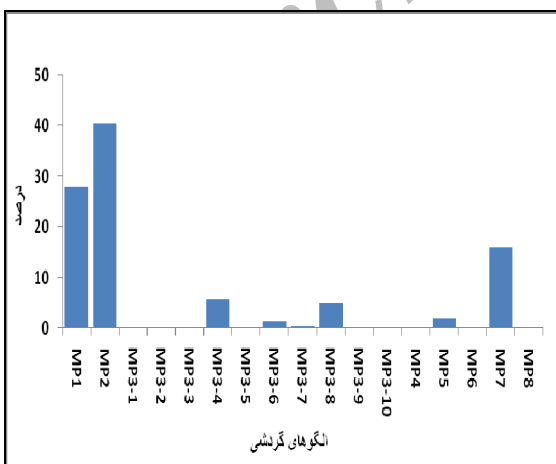
شکل ۲۴: ایستگاه خانه زیان



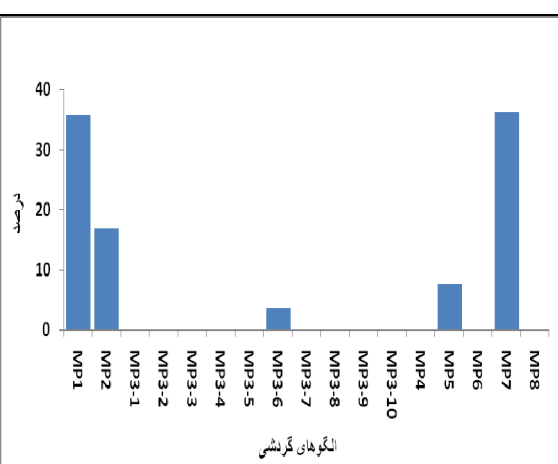
شکل ۲۵: ایستگاه باراک



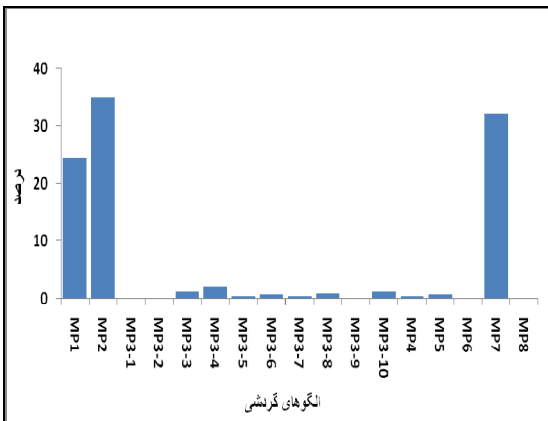
شکل ۲۶: ایستگاه علی آباد خفر



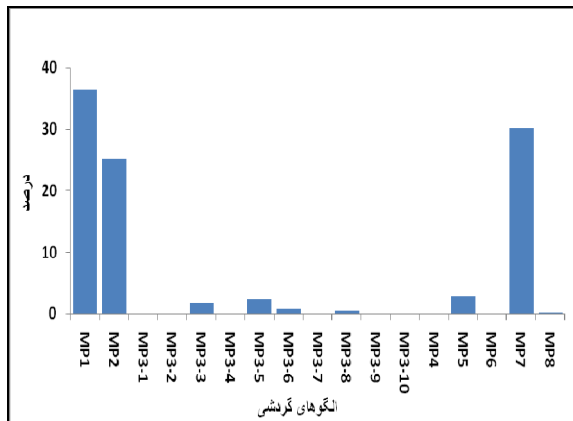
شکل ۲۷: ایستگاه پاباعرب



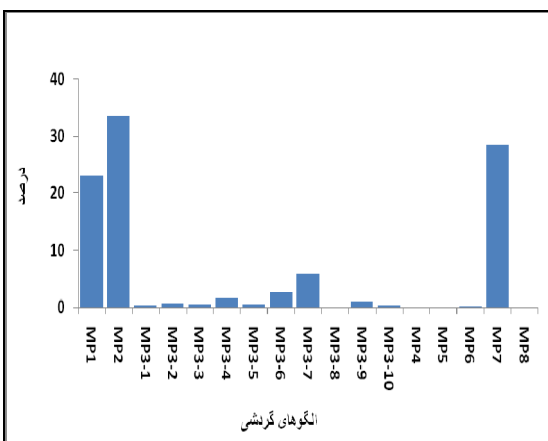
شکل ۲۸: ایستگاه سروو



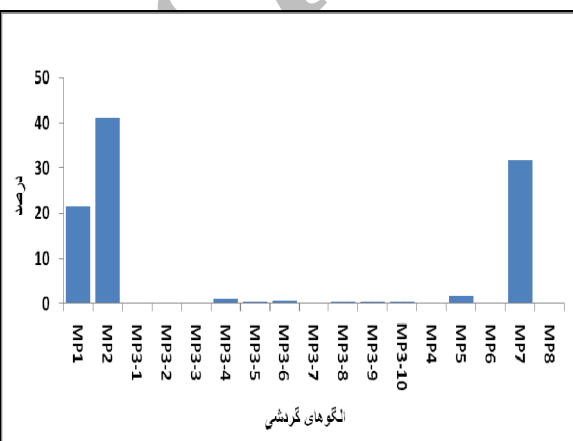
شکل ۲۹: ایستگاه تنگ کارزین



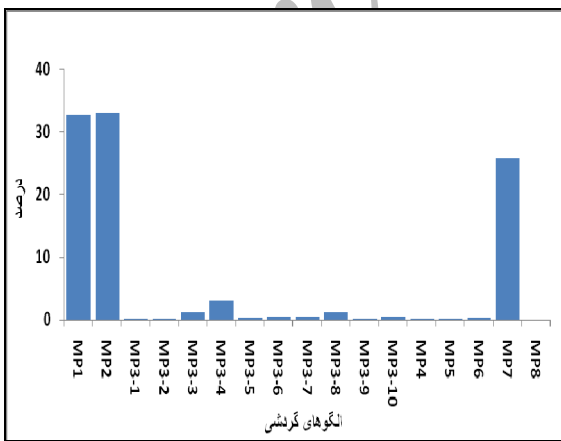
شکل ۲۸: ایستگاه قطب آباد



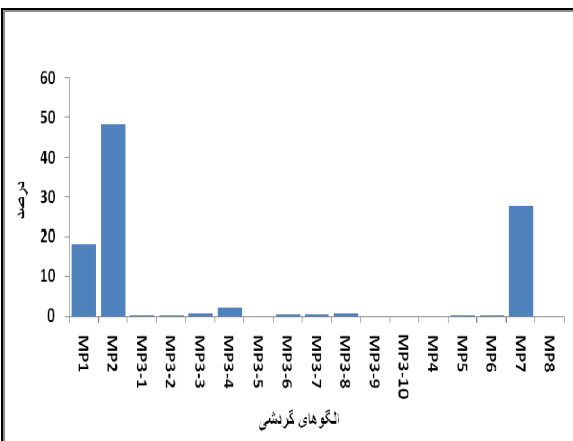
شکل ۳۱: ایستگاه احمد آباد



شکل ۳۰: ایستگاه تنگاب



شکل ۳۲: ایستگاه قنطره



شکل ۳۲: ایستگاه دزگاه

### منابع

- ۱- صمدی، زهرا (۱۳۸۶). تحلیل الگوی سینوپتیکی بارش سیل‌زای پاییز سال ۱۳۸۲ سواحل جنوبی دریای خزر، مجله پژوهشی دانشگاه اصفهان، جلد ۲۷، شماره ۶.
- ۲- علیجانی، بهلول (۱۳۸۱الف). اقلیم‌شناسی سینوپتیک، سمت. تهران.
- ۳- علیجانی، بهلول (۱۳۸۱ب). بررسی سینوپتیک الگوهای گردشی سطح ۵۰۰ هکتوپاسکال در خاورمیانه در دوره ۹۰-۹۱، نیوار، شماره ۴۴-۴۵.
- ۴- علیزاده، امین (۱۳۷۷). اصول هیدرولوژی کاربردی، چاپ. آستان قدس رضوی. مشهد.
- ۵- غیور، حسنعلی (۱۳۷۵). سیل و مناطق سیل خیز در ایران، فصلنامه تحقیقات جغرافیایی، شماره ۴۰.
- ۶- کاویانی، محمدرضا؛ رحیم حقیت‌زاده (۱۳۸۰). تحلیل سینوپتیک و ترمودینامیک واقعه سیل اسفندماه ۱۳۷۱ در حوضه‌ی آبی کارون، مجله علمی و پژوهشی دانشگاه اصفهان، شماره ۲۶-۲۷.
- ۷- لشکری، حسن (۱۳۸۲). مکانیسم تکوین، تقویت و توسعه مرکز کم فشار سودان و نقش آن بر روی بارش‌های جنوب و جنوب غرب ایران، پژوهش‌های جغرافیایی، شماره ۴۶.
- ۸- مرادی، حمیدرضا (۱۳۸۳). پیش‌بینی سیلاب بر اساس موقعیت‌های سامانه‌های همدیدی در شمال شرق کشور، فصلنامه تحقیقات جغرافیایی، شماره ۷۵.
- ۹- مفیدی، عباس (۱۳۸۳). اقلیم‌شناسی سینوپتیکی بارش‌های سیل‌زا با منشأ منطقه دریای سرخ در خاورمیانه، فصلنامه تحقیقات جغرافیایی، شماره ۷۵.
- ۱۰- مسعودیان، سید ابوالفضل (۱۳۸۴الف). پیش‌بینی سیلاب در استان چهارمحال و بختیاری، استانداری چهارمحال و بختیاری. ستاد حوادث غیرمنتقبه.

### نتیجه

نتایج این پژوهش نشان داد ارتباط معنی‌داری بین الگوهای گردشی تراز ۵۰۰ هکتوپاسکال منطقه خاورمیانه با میانگین درصد سیلاب روزانه در حوضه‌ی مند وجود دارد. بطوری‌که در تمام ایستگاه‌های منتخب الگوی گردشی شماره‌ی ۲ با ۳۵/۷۰ درصد، الگوی گردشی شماره‌ی ۷ با ۲۹/۱۴ درصد و الگوی گردشی شماره‌ی ۱ با ۲۵/۲۴ درصد بیشترین رابطه را با سیلاب‌های حوضه داشته‌اند. به عبارتی دیگر این سه الگوی گردشی مجموعاً ۹۰/۰۸ درصد سیلاب روزانه حوضه‌ی مند را تبیین نموده‌اند. هر چند بعضی از الگوهای گردشی مانند زیر مجموعه‌های الگوی گردشی شماره ۳ درصد کمی از سیلاب‌های حوضه را به خود اختصاص داده‌اند، اما این به معنی کم‌اهمیت بودن و شدت پایین سیلاب‌های این الگوها نمی‌باشد، بلکه فراوانی وقوع کمتر این سیلاب‌ها را بیان می‌کند. نتایج این پژوهش همچنین نشان داد الگوهای گردشی تراز ۵۰۰ هکتوپاسکال تهیه شده توسط مسعودیان با توجه به دوره‌ی زمانی، محدوده‌ی جغرافیایی و یاخته مناسب، ابزاری مفید برای مطالعه رابطه‌ی الگوهای گردشی با پدیده‌های محیطی محدودی مورد بررسی، به روش گردشی به محیطی می‌باشد.

### تقدیر و تشکر

از جناب آقای دکتر سید ابوالفضل مسعودیان استاد گروه جغرافیا دانشگاه اصفهان به خاطر در اختیار گذاشتن الگوهای گردشی و سازمان آب منطقه‌ای استان‌های فارس و بوشهر به دلیل در اختیار گذاشتن داده‌های رواناب ایستگاه‌های آبسنجی، سپاسگزارم.

- 17- Bardossy A, Filitz F (2005). Identification of flood producing atmospheric circulation patterns. *Journal of Hydrology* 313.
- 18- Barth H J, Steinkohl F (2004). Origin of winter precipitation in the central coastal lowlands of Saudi Arabia, *Journal of Arid Environments* 57.
- 19- Petrow TH (2007). Aspect of seasonality flood generating circulation patterns in a mountainous catchment in south-eastern Germany, *Hydrol. Earth Syst. Sci.* 11.
- 20- Rohli R. V et al (2001). Synoptic circulation and stream discharge in the Great Lakes basin, USA. *Applied Geography* 21.
- 21- Robinson P J (2003). A atmospheric circulation and inland flooding in twentieth century North Carolina USA: Implications for climate change impacts. *Natural Hazards* 29.
- 22- Schulter I and Schadler G (2010). Sensitivity of heavy precipitation forecasts to small modifications of large- scale weather patterns for Elbe River, *Journal of Hydrometeorology*, 11.
- 23- Ward R. C and Robinson M (2000). Principles of hydrology, 4 editions, Mc Graw- Hill Publishing Company, UK.
- 24- Sabziparvar A. A and at all (2010). Mid-level synoptic analysis of flood-generating system in South-west of Iran (case study: Dalaki watershed river basin), *Natural Hazards and Earth System Science*, 10.
- 11- مسعودیان، سیدابوالفضل (۱۳۸۵). زیج سی ساله‌ی الگوهای گردشی تراز میانی جو ایران، *مجله‌ی جغرافیا و توسعه ناحیه‌ای*. شماره ۷.
- 12- مسعودیان، سیدابوالفضل (۱۳۸۴). شناسایی الگوهای گردشی پدید آورنده سیلاب‌های بزرگ در کارون، *مجله‌ی جغرافیا و توسعه*. شماره ۳.
- 13- نجف‌پور، بهرام (۱۳۸۵). شناسایی الگوهای گردشی ایجادکننده سیلاب در حوضه‌ی مُند، رساله دکتری. به راهنمایی دکتر محمدرضا کاویانی و دکتر سیدابوالفضل مسعودیان. گروه جغرافیا. دانشگاه اصفهان.
- 14- نصیری، بهروز؛ هوشنگ قائمی (۱۳۷۸). تحلیل الگوی سینوپتیک بارش‌های کرخه و دز، *فصلنامه تحقیقات جغرافیایی*. شماره ۵۴-۵۵.
- 15- یارنال، برنت (۱۳۷۳). *اقلیم‌شناسی همدید و کاربرد آن در مطالعات محیطی*, ترجمه سیدابوالفضل مسعودیان. دانشگاه اصفهان.
- 16- Alijani B (2002). Variations of 500 hPa flow patterns over Iran and surrounding areas and their relationship with the climate of Iran. *Theor Appl Climatol* 72.